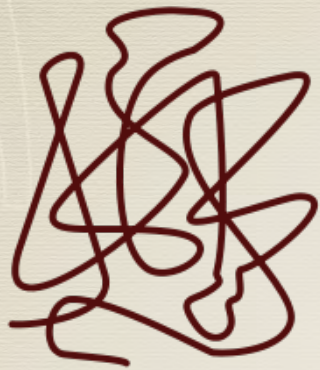


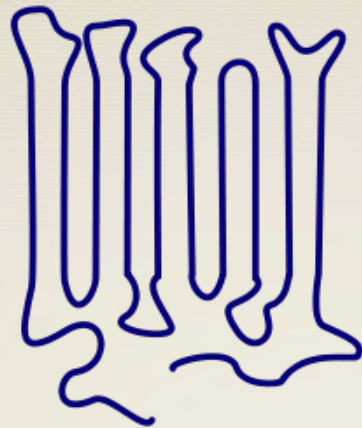
トポロジカル分子添加が 高分子の結晶化に与える効果

滋賀県立大学 竹下宏樹、土田紗栄、徳満勝久
新成化学 丸山季浩

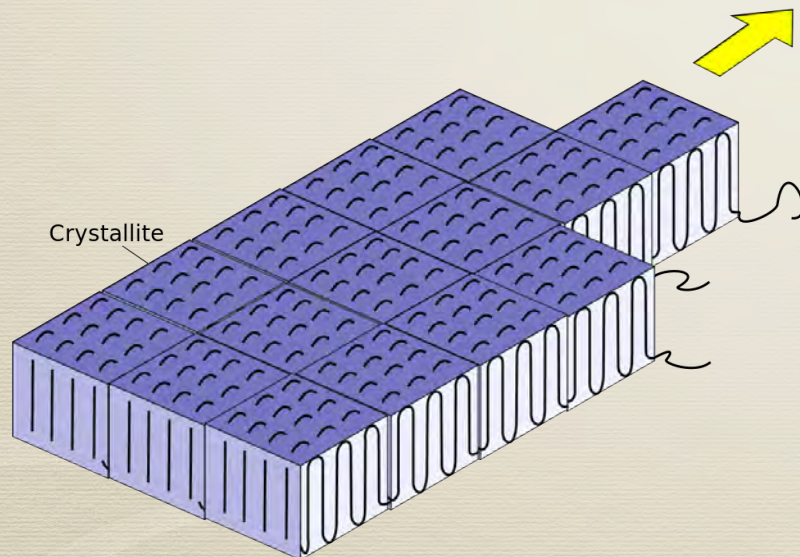
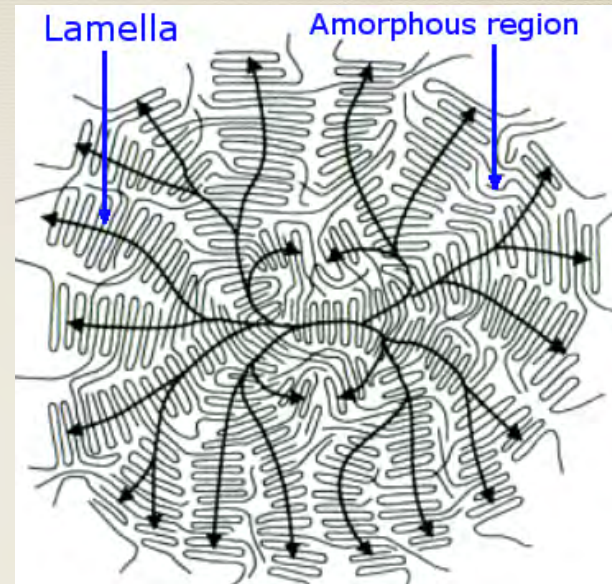
高分子の結晶化



Amorphous



Semicrystalline



Crystallite

結晶化速度（球晶成長速度）

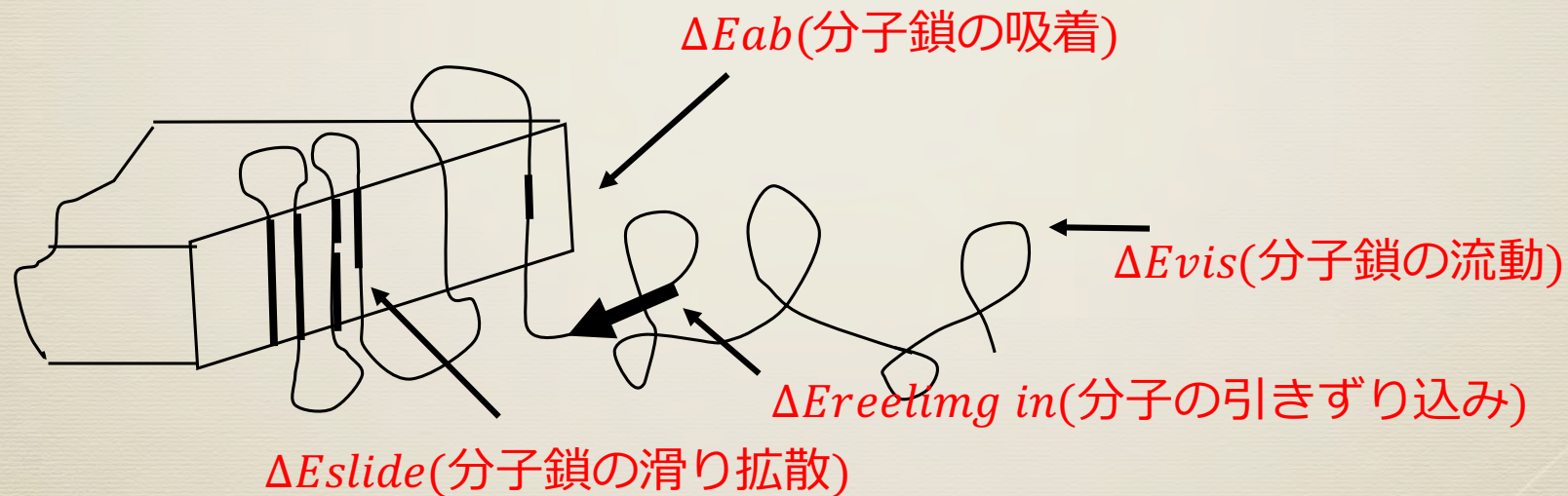
$$G = G_0 \exp \left(\frac{-\Delta E_2}{RT} - \frac{k_2 T_m^0}{RT \Delta T} \right)$$

高分子の結晶化

高分子鎖・・・分子鎖軸方向に一次元のブラウン運動に基づく
自己拡散運動(レプテーション)により絡み合い状態から脱出が可能

分子鎖の移動

分子鎖全体の並進運動
分子鎖方向へ連続して移動する自己拡散運動
分子鎖の滑り拡散運動



$$G = G_0 \exp \left(\frac{-\Delta E_2}{RT} - \frac{k_2 T_m^0}{RT \Delta T} \right)$$

様々なかたちの高分子

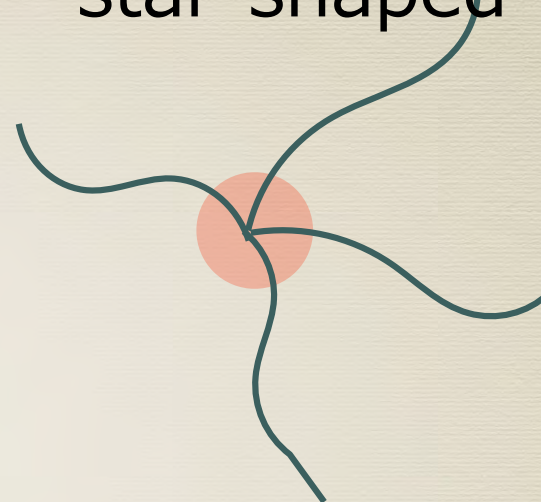
linear



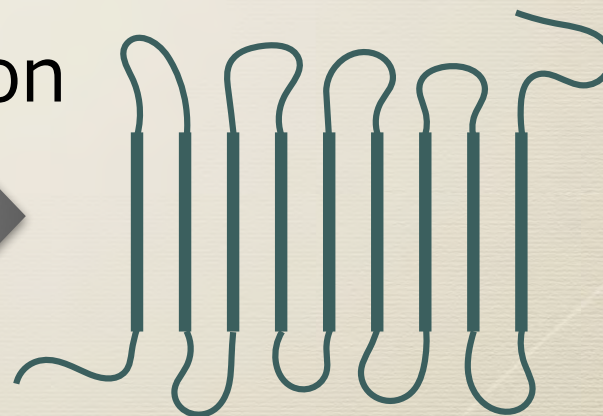
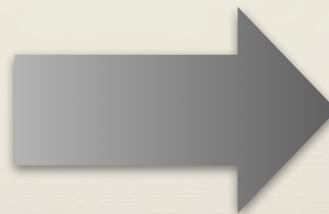
ring-shaped



star-shaped



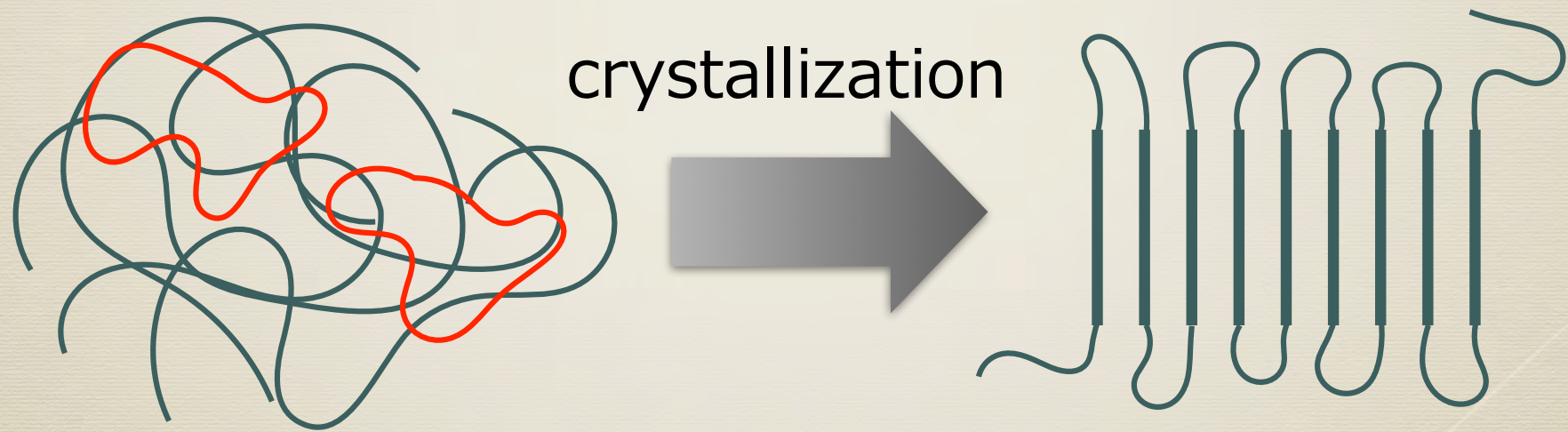
crystallization



$$G = G_0 \exp \left(\frac{-\Delta E_2}{RT} - \frac{k_2 T_m^0}{RT \Delta T} \right)$$

目的

線状高分子の結晶化挙動におけるトポロジカル分子添加の効果をも、添加するトポロジカル分子の構造および分子量に着目して検討。

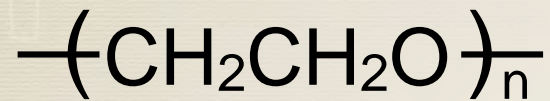


$$G = G_0 \exp \left(\frac{-\Delta E_2}{RT} - \frac{k_2 T_m^0}{RT \Delta T} \right)$$

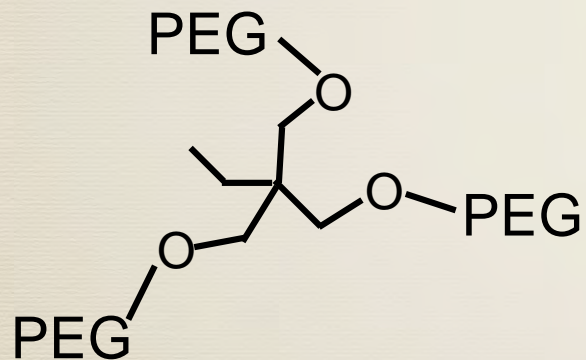
試料

Poly(ethylene glycol) (PEG)

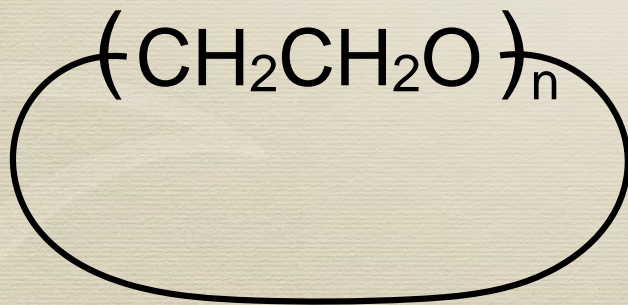
Linear PEG



Star-shaped PEG



Ring-shaped PEG



	Mn	Mw/Mn
L-PEG9800	9800	1.05
L-PEG2000	2000	-
S-PEG12000	12000	1.05
R-PEG4000	4000	1.00
R-PEG2000	2000	1.00
R-PEG1400	1400	1.00
R-PEG260	260	1.00

実験

L-PEG9800 / X-PEGXXX
+
クロロホルム



5 wt%

真空乾燥@40 °C

ブレンドサンプル名

R-PEG2000(5)

R-PEG1400(5)

S-PEG12000(10)

示差走査熱量測定 (DSC)

結晶化温度

島津製作所 DSC-60A

広角X線回折 (WAXD)

結晶構造

リガク RINT2500

偏光顕微鏡観察 (POM)

球晶成長速度

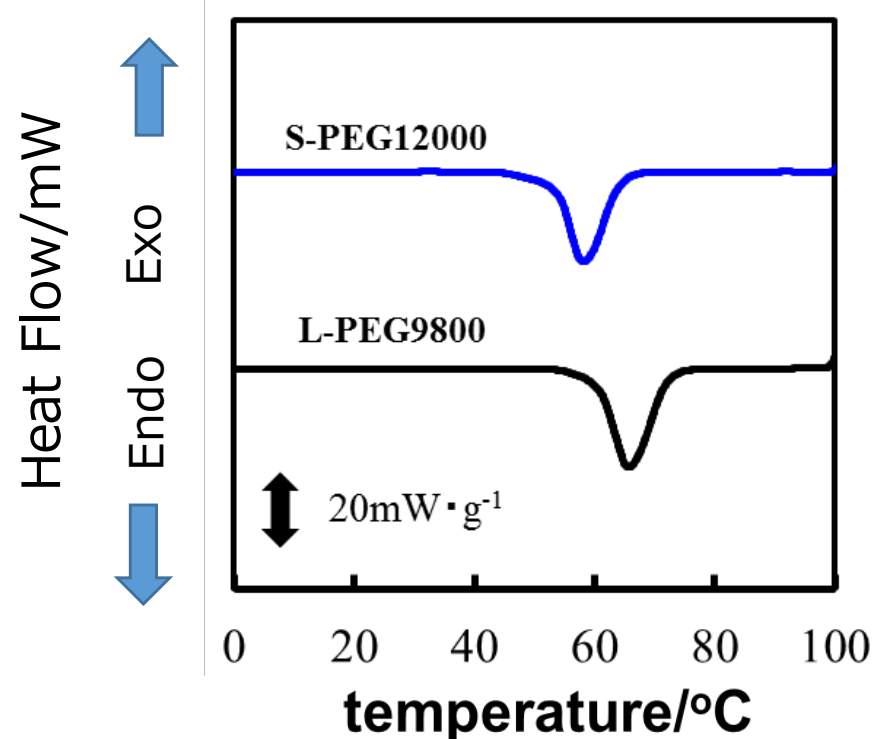
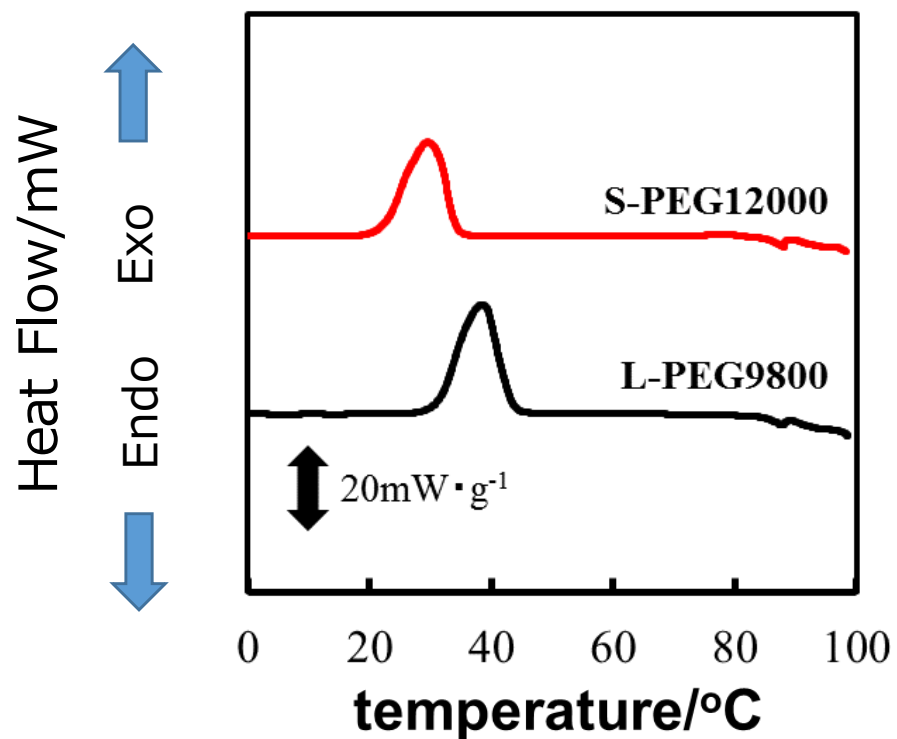
OLYMPUS BX53

小角X線散乱 (SAXS)

結晶ラメラ構造

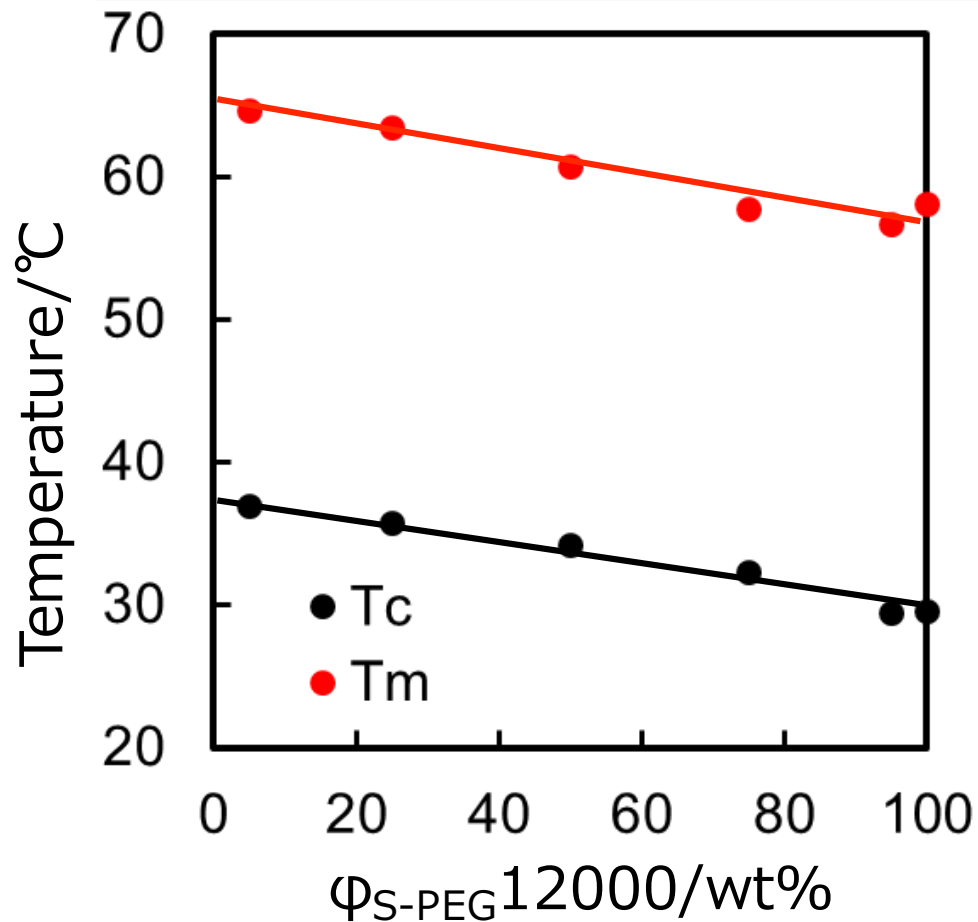
AichiSR BL8S3

熔点 (L-PEG, S-PEG)



Sample	T_c /°C	T_m /°C
L-PEG9800	41.29	65.21
S-PEG12000	29.59	58.13

融点 (L-PEG, S-PEG)

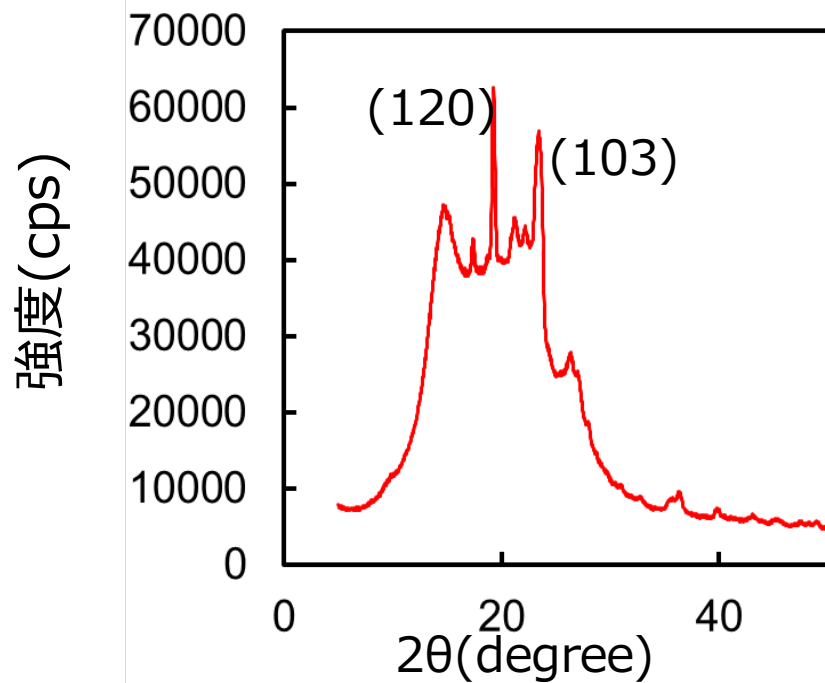


Sample	$T_m / ^\circ\text{C}$	$T_c / ^\circ\text{C}$
S-PEG12000(5)	36.90	64.61
S-PEG12000(25)	35.71	63.51
S-PEG12000(50)	34.28	60.72
S-PEG12000(75)	32.31	57.71
S-PEG12000(95)	29.49	56.73
S-PEG12000(100)	29.59	58.13

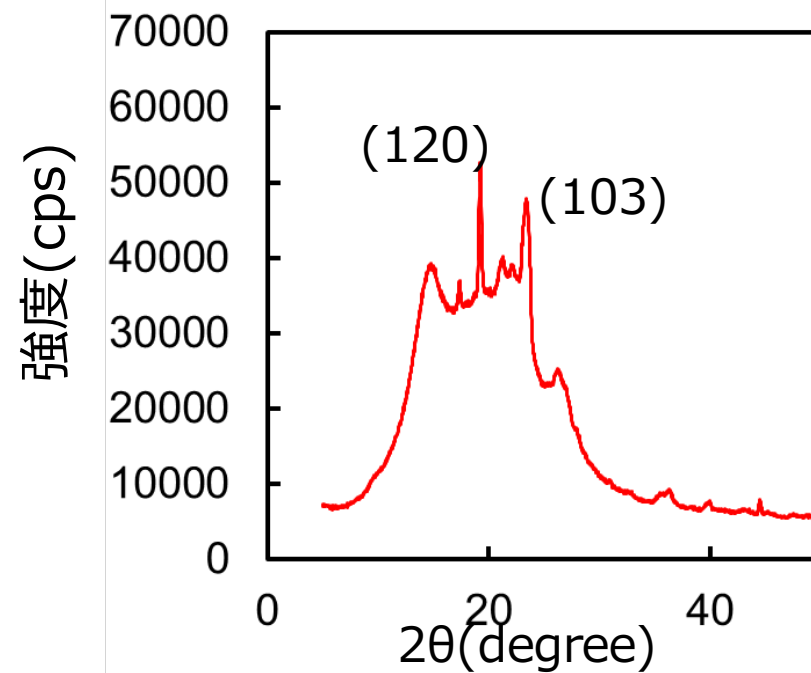
全組成で相溶

結晶構造 (L-PEG, S-PEG)

(a)L-PEG9800

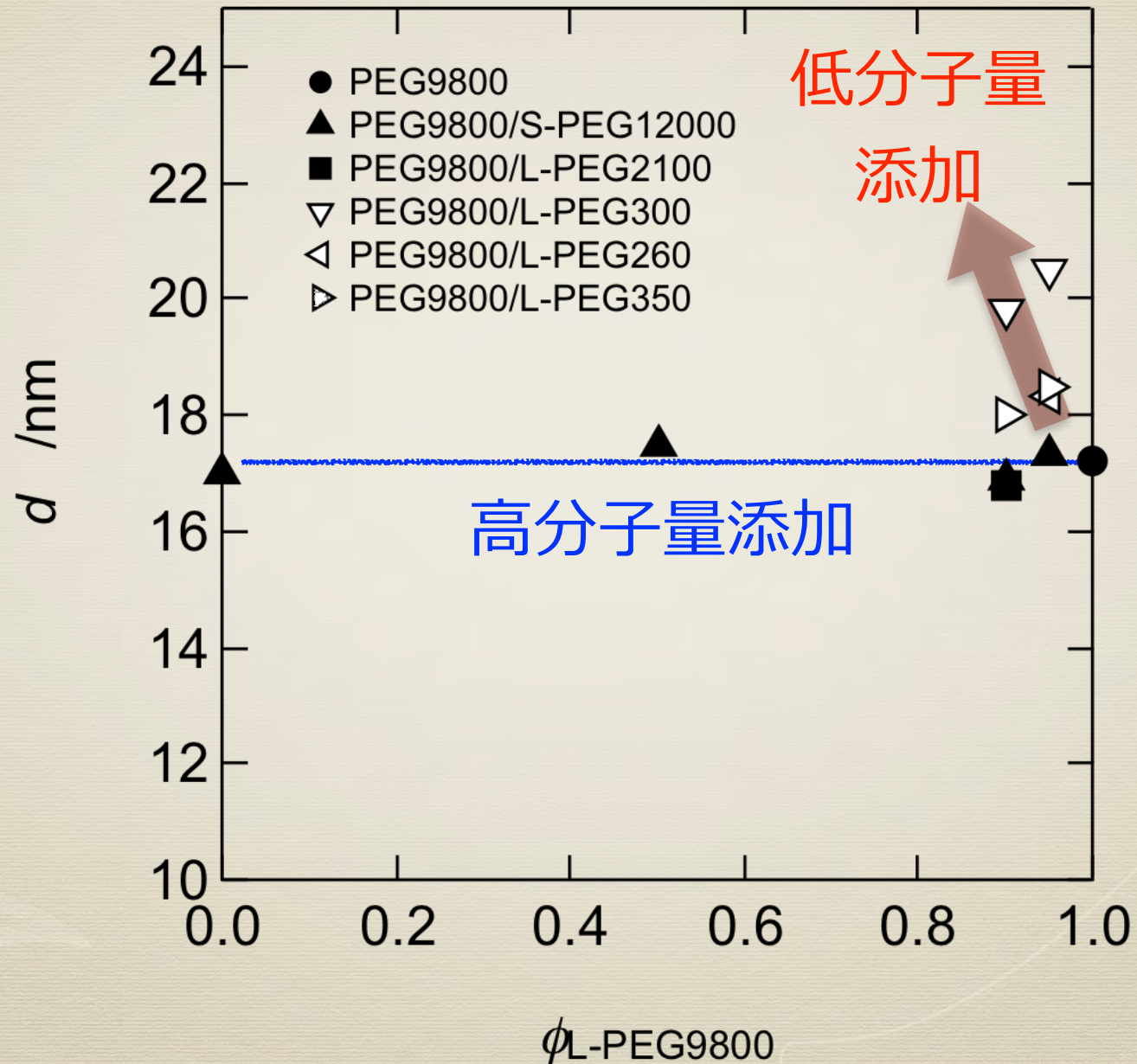


(b)S-PEG12000



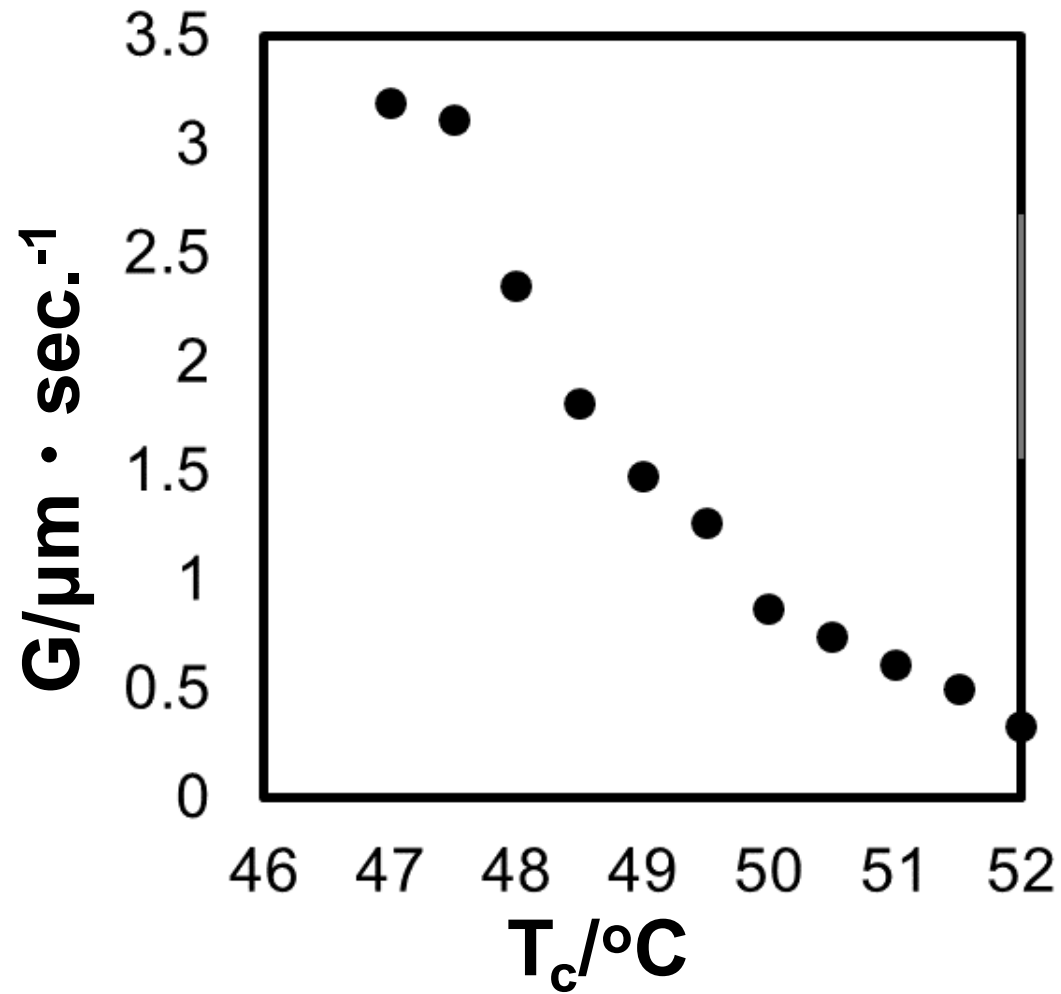
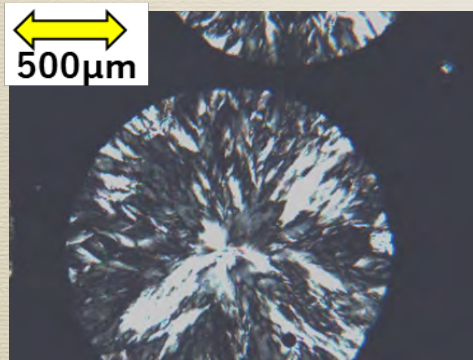
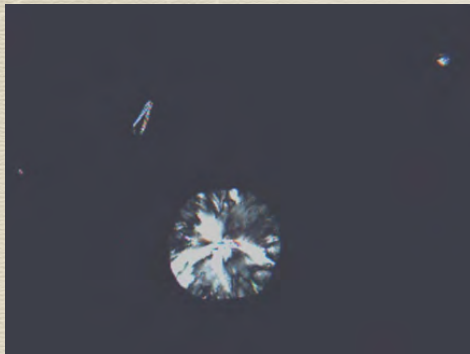
結晶構造は分子構造に依存しない

SAXSから求めた長周期

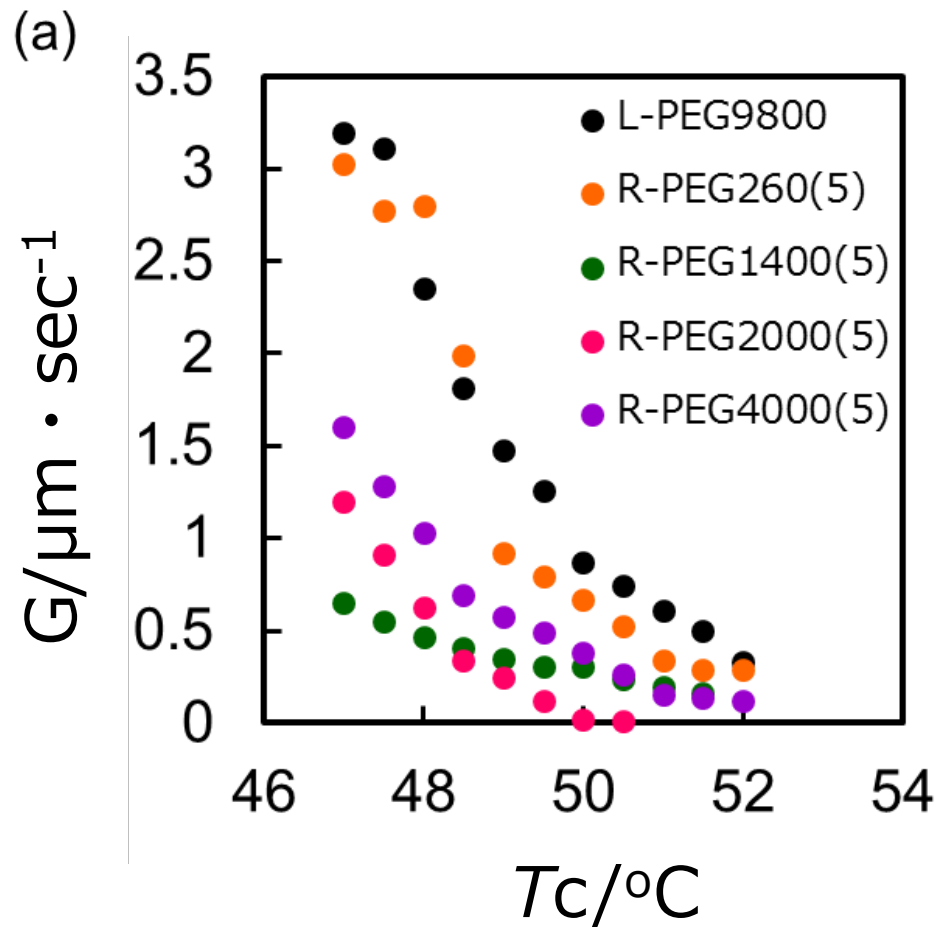


球晶成長速度測定

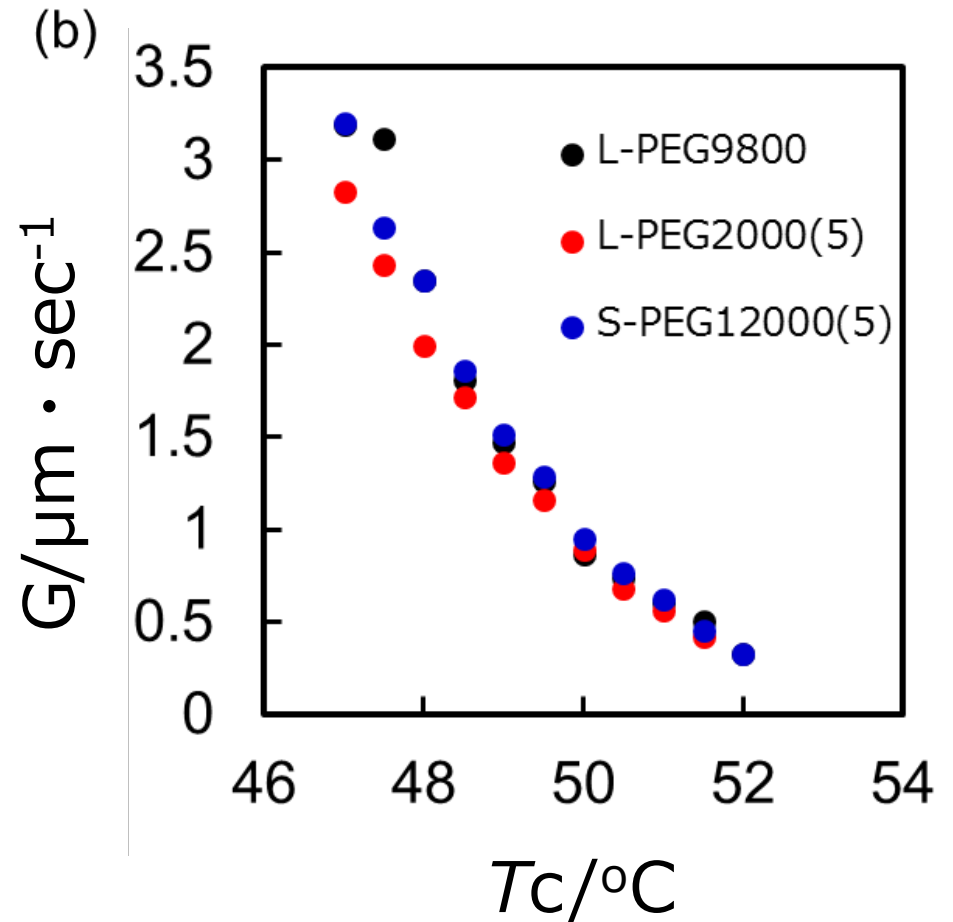
L-PEG9800



球晶成長速度

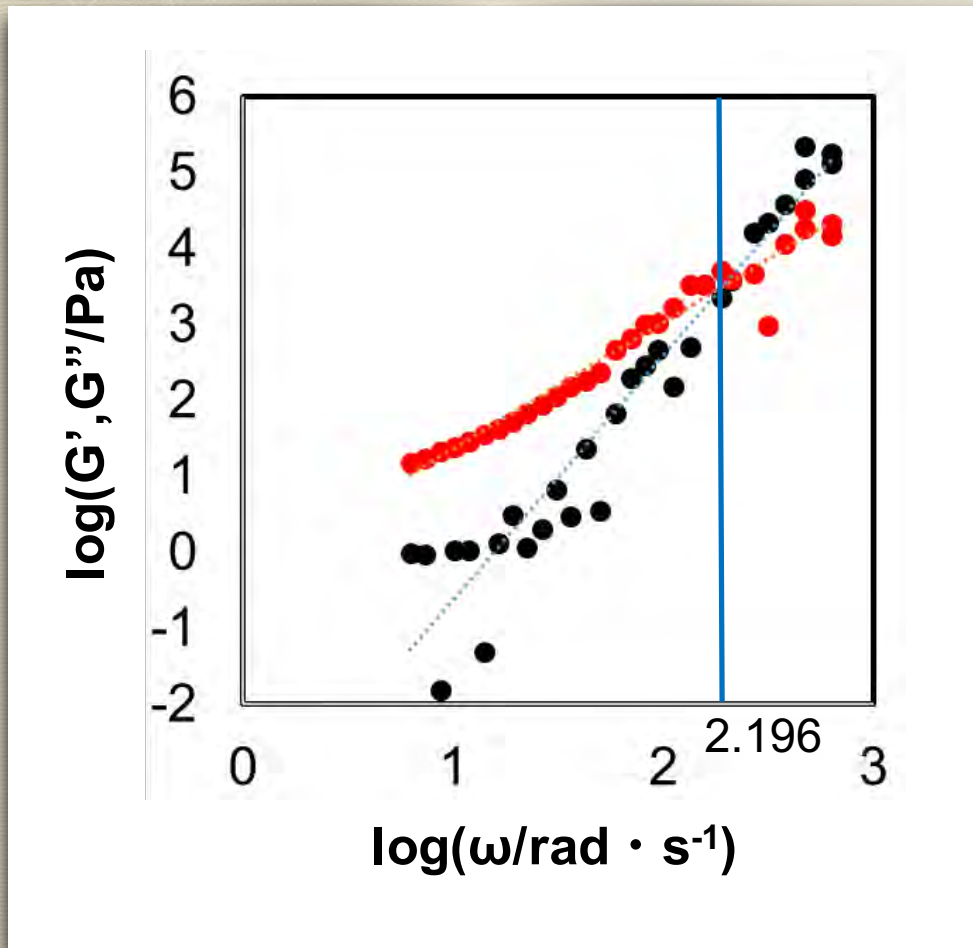


L-PEG/R-PEG系
球晶成長速度低下
環サイズ依存



L-PEG/S-PEG系
球晶成長速度変わらず

球晶成長速度



$$G = G_0 \exp\left(\frac{-\Delta E_2}{RT} - \frac{k_2 T_m^0}{RT\Delta T}\right)$$

低温側

成長機構変化せず

高温側

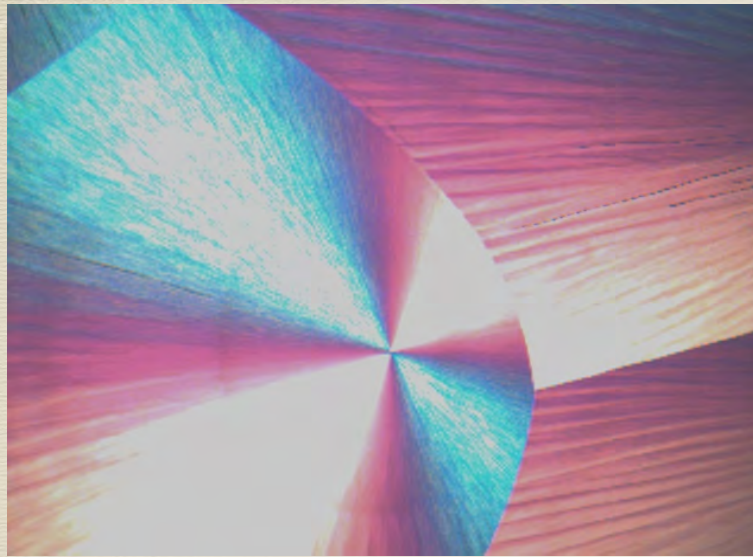
R-PEG添加系で成長速度
が大きく変化

環サイズ依存性

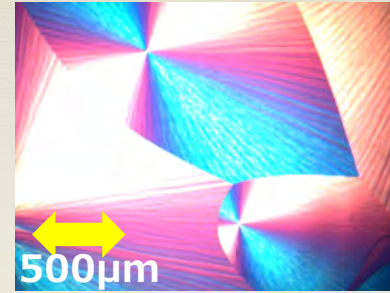
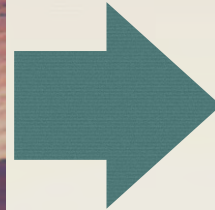
PEGの絡み合い点間分子量
~1850

PEG($M_n=10000$)の最長緩和時間
~0.8秒

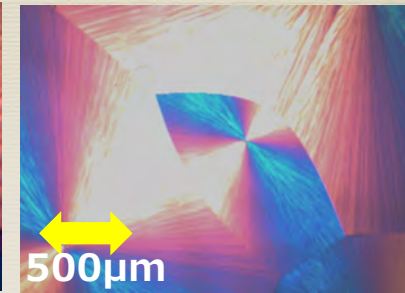
核生成速度 (球晶数)



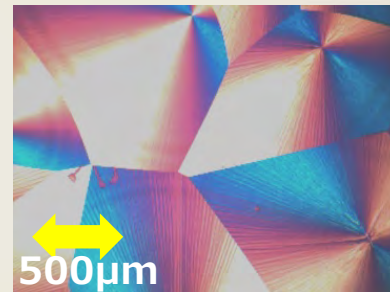
L-PEG9800



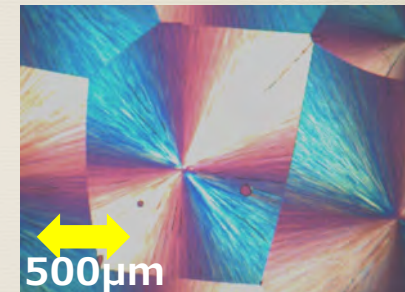
S-PEG12000(5)



R-PEG1400(5)



R-PEG2000(5)



R-PEG4000(5)

球晶数N



核生成速度I * 球晶成長速度G

Sample	Number of nucleation N(個/mm ²)
L-PEG9800	0.28
R-PEG1400(5)	1.34
R-PEG2000(5)	1.15
R-PEG4000(5)	1.20
S-PEG12000(5)	0.88